

## THÀNH PHẦN HÓA HỌC THÂN CÂY DÂY LÓP BÓP *GYMNOSPORIA STYLOSA* HỘ DÂY GÓI (CELASTRACEAE)

Nguyễn Thị Thu Hà<sup>1,2</sup>, Trương Bích Ngân<sup>1</sup>, Phạm Văn Cường<sup>1,\*</sup>, Đoàn Thị Mai Hương<sup>1</sup>,  
Nguyễn Văn Hùng<sup>1</sup>, Marc Litaudon<sup>3</sup>, Châu Văn Minh<sup>1</sup>

<sup>1</sup>Viện Hóa sinh biển, Viện Hàn lâm Khoa học và Công nghệ Việt Nam

<sup>2</sup>Viện Hóa học, Viện Hàn lâm Khoa học và Công nghệ Việt Nam

<sup>3</sup>Viện Hóa học các hợp chất thiên nhiên, Cộng hòa Pháp

Toà soạn ngày 16-5-2014

### Abstract

The genus *Gymnosporia* (Celastraceae) consists of about 300 species in the world. The plants of this genus are rich in triterpenoid, sesquiterpenoid, alkaloid, flavonoid, and phenolic that exhibited a variety of biological and pharmacological activities. The EtOAc extracts of the stems of *Gymnosporia stylosa* showed cytotoxic activity against cancer human cell line KB (94 % inhibition at 1 µg/mL.). In this paper, we report the isolation and structural elucidation of 8 compounds abruslactone A (1), β-amyrin (2), canophyllol (3), 28,29-dihydroxyfriedelan-3-one (4), friedelin (5), syringaldehyde (6), syringic acid (7), and 3,4-dihydroxybenzoic acid (8) from the stems of this plant. It is the first time this plant had researched about chemical constituents in Vietnam as well as in the World.

**Keywords:** Celastraceae, *Gymnosporia stylosa*, triterpenoid.

### 1. MỞ ĐẦU

Trên thế giới, chi *Gymnosporia* bao gồm khoảng 300 loài [1]. Trong Y học cổ truyền, một số loài *Gymnosporia* được dùng để chữa trị sốt, hen suyễn, thấp khớp, rối loạn tiêu hóa, lao phổi, u nhọt... [2]. Kết quả nghiên cứu về hóa thực vật các loài *Gymnosporia* cho thấy các lớp chất thường gặp là triterpenoid, sesquiterpenoid, alkaloid, flavonoid và các hợp chất phenolic với một số hoạt tính ức chế enzym HIV-protease, kháng viêm và là tác nhân điều trị ung thư đầy hứa hẹn [3, 4].

Ở nước ta, chi *Gymnosporia* có tên gọi là Lô châu gồm 8 loài. Loài *Gymnosporia stylosa* Pierre được gọi Dây llop bóp hay Lô châu vòi, thường mọc rải rác trong rừng ở một số tỉnh của Việt Nam như Thanh Hoá, Nghệ An, Quảng Bình, Thừa Thiên Hué, Khánh Hoà, Ninh Thuận và Bà Rịa - Vũng Tàu. Dây là loại cây bụi hoặc gỗ nhỏ; cành màu xám, lá đơn mọc cách, cuống lá dài 1-1,2 cm [5]. Kết quả thử hoạt tính sinh học sơ bộ cho thấy dịch chiết EtOAc của thân cây thể hiện hoạt tính ức chế sự phát triển của dòng tế bào ung thư KB với giá trị % ức chế là 94 % ở nồng độ 1 µg/mL. Cho đến nay, trên thế giới cũng như ở Việt Nam chưa có công

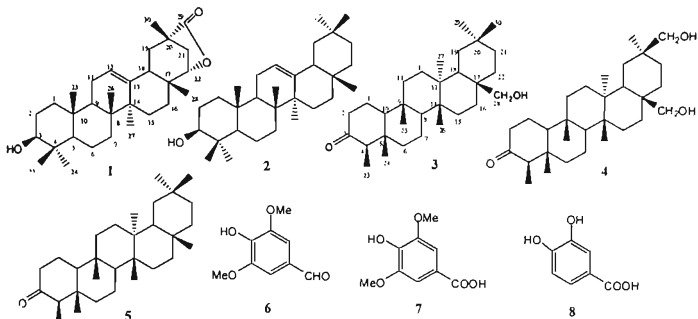
trình nghiên cứu nào về thành phần hóa học và hoạt tính sinh học của loài *Gymnosporia stylosa*. Trong bài báo này chúng tôi trình bày kết quả phân lập và xác định cấu trúc hóa học 8 hợp chất là abruslactone A (1), β-amyrin (2), canophyllol (3), 28,29-dihydroxyfriedelan-3-one (4), friedelin (5), syringaldehyde (6), axit syringic (7) và axit 3,4-dihydroxybenzoic (8) từ thân cây Dây llop bóp.

### 2. THỰC NGHIỆM

#### 2.1. Thiết bị và nguyên liệu

Phổ cộng hưởng từ hạt nhân NMR được ghi trên máy Bruker Avance 500 MHz với TMS là chất chuẩn nội. Sắc ký lop mòng (TLC) được thực hiện trên bàn mòng silica gel Merck 60 F<sub>254</sub>. Sắc ký cột được tiến hành với silica gel cỡ hạt 40-63 µm và Sephadex LH-20 (Aldrich).

Thân cây Dây llop bóp (*Gymnosporia stylosa* Pierre) được thu hái tại huyện Phú Lộc - Tỉnh Thừa Thiên Hué vào tháng 09 năm 2007. Mẫu cây được thạc sĩ Nguyễn Quốc Bình định tên. Mẫu tiêu bản ký hiệu là VN 1844-T, được lưu tại phòng tiêu bản



Cấu trúc hóa học các hợp chất phân lập được (1-8) từ thân cây Dây llop b López

Viện Sinh thái và Tài nguyên sinh vật - Viện Hàn lâm Khoa học và Công nghệ Việt Nam.

## 2.2. Xử lý mẫu thực vật và chiết tách

Mẫu thân cây Dây llop b López sau khi phơi khô, xay nhô (2 kg) được ngâm chiết với dung môi ethyl axetat trong 24 giờ (4 lần x 10 L), sau đó cát loại dung môi dưới áp suất giảm thu được 34 g cặn chiết EtOAc. Cặn bã được tiếp tục ngâm chiết với dung môi MeOH trong 24 giờ (4 lần x 10L), rồi cát loại dung môi dưới áp suất giảm thu được 45 g cặn chiết MeOH.

Tiến hành sắc ký cột silica gel phần cặn EtOAc với hệ dung môi *n*-hexan/axeton gradient chung tôi thu được 15 phân đoạn chính kí hiệu F1-F15. Phân đoạn F2 được kết tinh với hệ dung môi *n*-hexan/EtOAc cho chất 5 (10 mg). Phân đoạn F3, sau khi tinh chế trên cột silica gel với hệ dung môi *n*-hexan/CH<sub>2</sub>Cl<sub>2</sub> gradient thu được 5 phân đoạn nhỏ kí hiệu F3.1-F3.5. Kết tinh phân đoạn F3.3 với hệ dung môi *n*-hexan/EtOAc thu được chất 2 (10 mg). Kết tinh phân đoạn F5 với hệ dung môi *n*-hexan/EtOAc thu được chất 3 (15 mg). Phân đoạn F7 được tinh chế trên cột silica gel với hệ dung môi *n*-hexan/CH<sub>2</sub>Cl<sub>2</sub> gradient thu được chất 6 (5.5 mg). Tinh chế phân đoạn F8 trên cột silica gel với hệ dung môi *n*-hexan/CH<sub>2</sub>Cl<sub>2</sub> gradient thu được chất 4 (15 mg). Sắc ký cột silica gel phân đoạn F9 với hệ dung môi *n*-hexan/ EtOAc gradient thu được 7 phân đoạn nhỏ kí hiệu F9.1-F9.7. Từ phân đoạn F9.3, sau khi chạy cột silica gel với hệ dung môi CH<sub>2</sub>Cl<sub>2</sub>/MeOH gradient thu được chất 1 (3.5 mg). Phân đoạn F10 được tinh chế trên cột silica gel với

hệ dung môi CH<sub>2</sub>Cl<sub>2</sub>/axeton gradient thu được 5 phân đoạn nhỏ kí hiệu F10.1-F10.5. Tiếp tục tinh chế phân đoạn F10.3 trên cột silica gel với hệ dung môi CH<sub>2</sub>Cl<sub>2</sub>/EtOAc và cột sephadex với dung môi MeOH (100%) thu được chất 7 (10 mg) và chất 8 (10.2 mg).

**Abruslactone A (1):** Tinh thể màu trắng, dnc. 329-330°C; ESI-MS: *m/z* 477 [M+Na]<sup>+</sup>; <sup>1</sup>H-NMR (500.13 MHz, CDCl<sub>3</sub> + MeOD): δ<sub>H</sub> 0,74 (1H, br d, *J* = 11,5 Hz, H-5); 0,77 (3H, s, CH<sub>3</sub>-23); 0,88 (3H, s, CH<sub>3</sub>-28); 0,93 (3H, s, CH<sub>3</sub>-25); 0,94 (3H, s, CH<sub>3</sub>-26); 0,94 (1H, m, H-1a) 0,97 (3H, s, CH<sub>3</sub>-24); 1,07 (3H, s, CH<sub>3</sub>-27); 1,11 (1H, m, H-15a); 1,18 (1H, m, H-16a); 1,19 (s, CH<sub>3</sub>-30); 1,39 (2H, m, H-6a,7a); 1,48-1,59 (4H, m, H-6b, H-7b, H-9, H-19a), 1,60 (2H, m, CH<sub>2</sub>-2), 1,64 (1H, m, H-1b); 1,72 (1H, m, H-15b); 1,86-1,88 (3H, m, H-19b, CH<sub>2</sub>-11), 1,94 (1H, dd, *J* = 5,5; 12,0 Hz, H-21a), 2,17 (1H, m, H-18); 2,32 (1H, d, *J* = 12,0 Hz, H-21b); 3,17 (1H, dd, *J* = 5,5; 11,5 Hz, H-3); 4,18 (1H, d, *J* = 5,5 Hz, H-22); 5,32 (1H, t, *J* = 3,5 Hz, H-12); <sup>13</sup>C-NMR (125,76 MHz, CDCl<sub>3</sub>+ MeOD): δ<sub>C</sub> 15,9 (C-23, C-25), 17,3 (C-26), 18,7 (C-6); 21,0 (C-30); 23,9 (C-11); 24,3 (C-27); 24,7 (C-15); 25,2 (C-28); 25,6 (C-16); 27,1 (C-2); 28,3 (C-24); 33,6 (C-7); 34,2 (C-21), 35,6 (C-17); 37,4 (C-10), 39,1 (C-1), 39,2 (C-4); 39,7 (C-8); 40,2 (C-19), 40,2 (C-20), 42,9 (C-14), 43,7 (C-18); 48,0 (C-9), 55,8 (C-5); 79,0 (C-3), 84,2 (C-22); 125,3 (C-12); 140,4 (C-13), 184,2 (C-29).

**β-amyrin (2):** Tinh thể màu trắng, dnc. 175-176 °C. IR  $\nu_{max}$  3428, 2928, 1639, 1462, 1039 cm<sup>-1</sup>; ESI-MS (*m/z*): 427 [M+H]<sup>+</sup>. <sup>1</sup>H-NMR (500.13 MHz, CDCl<sub>3</sub>): δ<sub>H</sub> 0,71 (3H, s, CH<sub>3</sub>-24), 0,76 (3H, s, CH<sub>3</sub>-28); 0,80 (3H, s, CH<sub>3</sub>-29), 0,80 (3H, s, CH<sub>3</sub>-30),

0,87 (3H, s, CH<sub>3</sub>-25); 0,90 (3H, s, CH<sub>3</sub>-23); 0,91 (3H, s, CH<sub>3</sub>-26); 1,08 (3H, s, CH<sub>3</sub>-27); 3,13 (1H, m, H-3); 5,11 (1H, t, 3,5 Hz, H-12); <sup>13</sup>C-NMR (125,76 MHz, CDCl<sub>3</sub>): δ<sub>C</sub> 15,5 (C-24); 15,5 (C-25); 16,8 (C-26); 18,3 (C-6); 23,4 (C-11); 23,6 (C-30); 26,0 (C-27); 26,2 (C-15); 27,0 (C-2); 27,3 (C-16); 28,1 (C-23); 28,2 (C-28); 31,1 (C-20); 32,5 (C-17); 32,6 (C-7); 33,2 (C-29); 34,8 (C-21); 37,0 (C-10); 37,2 (C-22); 38,5 (C-1); 38,7 (C-4); 39,7 (C-8); 41,7 (C-14); 46,8 (C-19); 47,2 (C-18); 47,6 (C-9); 55,1 (C-5); 78,9 (C-3); 121,7 (C-12); 145,0 (C-13).

**Canophyllol (3):** Tinh thể hình kim màu trắng (CH<sub>2</sub>Cl<sub>2</sub>/MeOH), đnc. 275-276 °C; IR (KBr) ν<sub>max</sub> cm<sup>-1</sup>: 3543, 1741, 1451, 1385; <sup>1</sup>H-NMR (500,13 MHz, CDCl<sub>3</sub>): δ<sub>H</sub> 0,72 (3H, s, CH<sub>3</sub>-24); 0,86 (3H, s, CH<sub>3</sub>-25); 0,87 (3H, d, J= 6,5 Hz, CH<sub>3</sub>-23); 0,98 (3H, s, CH<sub>3</sub>-29); 0,99 (3H, s, CH<sub>3</sub>-26); 1,06 (3H, s, CH<sub>3</sub>-30); 1,16 (3H, s, CH<sub>3</sub>-27); 3,34 (1H, d, J= 10,5 Hz, H-28a); 3,42 (1H, d, J= 10,5 Hz, H-28b); <sup>13</sup>C NMR (125 MHz, CDCl<sub>3</sub>): δ<sub>C</sub> 6,8 (C-23), 14,6 (C-24), 18,0 (C-25), 18,2 (C-7), 19,0 (C-26), 19,2 (C-27), 22,2 (C-1), 28,1 (C-20), 29,1 (C-16), 30,1 (C-12), 31,2 (C-15), 31,4 (C-22), 32,8 (C-29), 33,3 (C-21), 34,2 (C-30), 34,5 (C-19), 35,1 (C-17), 35,4 (C-11), 37,4 (C-9), 38,1 (C-14), 39,3 (C-18), 39,4 (C-13), 41,2 (C-6), 41,5 (C-2), 58,2 (C-4), 42,0 (C-5), 52,5 (C-8), 59,5 (C-10), 68,0 (C-28), 213,1 (C-3).

**28,29-dihydroxyfriedelan-3-one (4):** Chất rắn màu trắng, đnc. 286-289 °C; ESI-MS: m/z 459,3 [M+H]<sup>+</sup>; <sup>1</sup>H-NMR (500,13 MHz, CDCl<sub>3</sub> + MeOD): δ<sub>H</sub> 0,56 (3H, s, CH<sub>3</sub>); 0,71 (3H, d, J= 7,0 Hz, CH<sub>3</sub>-23); 0,71 (3H, s, CH<sub>3</sub>); 0,74 (3H, s, CH<sub>3</sub>); 0,82 (3H, s, CH<sub>3</sub>); 0,99 (3H, s, CH<sub>3</sub>); 3,05 (1H, d, J= 11,0 Hz, H-29a); 3,11 (1H, d, J= 11,0 Hz, H-29b); 3,32 (1H, d, J= 11,0 Hz, H-28a); 3,40 (1H, d, J= 11,0 Hz, H-28b); <sup>13</sup>C-NMR (125,76 MHz, CDCl<sub>3</sub> + MeOD): δ<sub>C</sub> 7,1 (C-23); 15,0 (C-24); 18,7(C-25); 18,9 (C-27); 19,2 (C-7); 19,8 (C-26); 23,4 (C-1); 29,0 (C-30); 29,2 (C-21); 29,6 (C-19); 30,6 (C-15); 31,0 (C-12); 31,5 (C-16); 31,8 (C-22); 34,0 (C-20); 36,1 (C-17); 36,4 (C-11); 38,5 (C-9); 39,4 (C-14); 40,2 (C-13); 40,4 (C-18); 42,2 (C-2); 43,2 (C-5); 53,2(C-8); 59,0 (C-4); 60,3 (C-10); 68,5 (C-28); 73,4 (C-29); 216,1 (C-3).

**Friedelin (5):** Tinh thể màu trắng, đnc 264-265 °C; IR ν<sub>max</sub> 2923, 2866, 1715, 1457, 1387, 1186 cm<sup>-1</sup>; ESI-MS (m/z: 427,2 [M+H]<sup>+</sup>; <sup>1</sup>H-NMR (500,13 MHz, CDCl<sub>3</sub>): δ<sub>H</sub> 0,72 (3H, s, CH<sub>3</sub>-24); 0,87 (3H, s, CH<sub>3</sub>-25); 0,88 (3H, d, J= 6,5 Hz, CH<sub>3</sub>-23); 0,95 (3H, s, CH<sub>3</sub>-29); 1,00 (3H, s, CH<sub>3</sub>-26); 1,01 (3H, s, CH<sub>3</sub>-30); 1,05 (3H, s, CH<sub>3</sub>-27); 1,18 (3H, s, CH<sub>3</sub>-28); 1,95 (1H, m, H-2b); 2,22-2,32 (2H, m, H-2a, H-18); 2,41 (1H, m, H-4); <sup>13</sup>C-NMR (125,76 MHz, CDCl<sub>3</sub>): δ<sub>C</sub> 6,82 (C-23); 14,7 (C-24); 17,9 (C-25); 18,3 (C-7); 18,7 (C-27); 20,3 (C-26); 22,3

(C-1); 28,2 (C-20); 30,0 (C-17); 30,5 (C-12); 31,8 (C-29); 32,1 (C-28); 32,4 (C-15); 32,8 (C-21); 35,0 (C-30); 35,4 (C-19); 35,7 (C-11); 36,0 (C-16); 37,5 (C-9); 38,3 (C-14); 39,3 (C-22); 39,7 (C-13); 41,3 (C-6); 41,5 (C-2); 42,2 (C-18); 42,8 (C-5); 53,1 (C-8); 58,3 (C-4); 59,5 (C-10); 213,2 (C-3).

**Syringaldehyde (6):** Chất rắn màu vàng nhạt, đnc. 112-114 °C; ESI-MS: m/z 221 [M+Na]<sup>+</sup>; <sup>1</sup>H-NMR (500,13 MHz, MeOD): δ<sub>H</sub> 3,94 (6H, s, 2 x OCH<sub>3</sub>); 7,25 (2H, s, H-2, H-6); 9,75 (CHO, s); <sup>13</sup>C-NMR (125,76 MHz, MeOD): δ<sub>C</sub> 56,8 (2 x OCH<sub>3</sub>); 108,4 (C-2, 6); 133,2 (C-1); 136,3 (C-4); 149,7 (C-3, 5); 192,8 (CHO).

**Axit syringic (7):** Tinh thể màu vàng nhạt, đnc. 184-186 °C; EI-MS (m/z) 221 [M+Na]<sup>+</sup>. <sup>1</sup>H-NMR (500,13 MHz, MeOD): δ<sub>H</sub> 3,90 (6H, s, 2 x OCH<sub>3</sub>); 7,35 (2H, s, H-2, H-6).

**Axit 3,4-dihydroxybenzoic (8):** <sup>1</sup>H-NMR (500,13 MHz, MeOD): δ<sub>H</sub> 6,81 (1H, d, J= 8,0 Hz, H-5); 7,44 (1H, br d, J= 8,0 Hz, H-6); 7,46 (1H, br s, H-2).

### 3. KẾT QUẢ VÀ THẢO LUẬN

Hợp chất 1 được phân lập dưới dạng chất rắn màu trắng, diêm nóng chảy 329-330 °C. Phô <sup>13</sup>C-NMR và DEPT cho tín hiệu của 30 nguyên tử cacbon trong đó có 7 nhóm methyl, 9 nhóm metilen, 6 nhóm metin, 1 nhóm cacbonyl và 7 cacbon bậc bốn. Trên phô <sup>1</sup>H-NMR xuất hiện tín hiệu đặc trưng cho 7 nhóm methyl ở δ<sub>H</sub> 0,77 (3H, s, CH<sub>3</sub>-23); 0,88 (3H, s, CH<sub>3</sub>-28); 0,93 (3H, s, CH<sub>3</sub>-25); 0,94 (3H, s, CH<sub>3</sub>-26); 0,97 (3H, s, CH<sub>3</sub>-24); 1,07 (3H, s, CH<sub>3</sub>-27); 1,19 (3H, s, CH<sub>3</sub>-30); một tín hiệu của proton metin olefinic ở δ<sub>H</sub> 5,32 (1H, t, J= 3,5 Hz, H-12). Thêm vào đó, phô <sup>1</sup>H-NMR còn có tín hiệu của 2 nhóm oxymetin ở δ<sub>H</sub> 3,17 (1H, dd, J= 5,5; 11,5 Hz, H-3) và 4,18 (1H, d, J= 5,5 Hz, H-22). Phân tích các dữ liệu phô trên cho phép dự đoán hợp chất 1 là một triterpen có kiểu khung oleanan có một nối đôi ở C-12, 2 nhóm oxymetin và 1 nhóm COOH. Trên phô HMBC cho thấy tương tác xa giữa nhóm methyl CH<sub>3</sub>-30 (δ<sub>H</sub> 1,19) với nhóm cacbonyl (δ<sub>C</sub> 184,2), C-19 (δ<sub>C</sub> 40,2), C-20 (δ<sub>C</sub> 40,2) và C-21 (δ<sub>C</sub> 34,2), chứng tỏ rằng nhóm cacbonyl ở vị trí 29. Đồng thời proton oxymetin H-22 (δ<sub>H</sub> 4,18) tương tác với cacbonyl C-29 (δ<sub>C</sub> 184,2), methyl CH<sub>3</sub>-28 (δ<sub>C</sub> 25,2) và C-18 (δ<sub>C</sub> 43,7) chứng tỏ rằng có sự đóng vòng lactone giữa COOH-29 với OH tại C-22. Cấu trúc abruslactone A cũng được khẳng định trên phô khối ESI-MS với píc ion già phản ứng ở m/z 477 [M+Na]<sup>+</sup>. Từ các dữ kiện phô MS, <sup>1</sup>H-NMR, <sup>13</sup>C-NMR, HSQC, HMBC, COSY và so sánh với tài liệu tham

khảo [6, 7] cho phép xác định cấu trúc của chất 1 là abruslactone A.

Hợp chất 2 được phân lập dưới dạng chất rắn màu trắng, điểm nóng chảy 175-176 °C. Phô hồng ngoại của hợp chất 2 có các dính hấp thụ đặc trưng cho nhóm OH ( $\nu_{max}$  3428 cm<sup>-1</sup>), liên kết C-H ( $\nu_{max}$  2928 cm<sup>-1</sup>). Phô khói ion hóa bụi điện tử của hợp chất 2 xuất hiện pic ion phân tử proton hóa ở  $m/z$  427 [M+H]<sup>+</sup>. Phô <sup>13</sup>C-NMR và DEPT cho tín hiệu của 30 nguyên tử cacbon bao gồm 8 nhóm methyl, 10 nhóm metilen, 3 nhóm metin sp<sup>3</sup>, 1 nhóm metin sp<sup>3</sup> có liên kết với oxi ở  $\delta_c$  78,9, 1 nhóm metin sp<sup>3</sup> ở  $\delta_c$  121,7, sáu cacbon bậc 4 lai hóa sp<sup>3</sup> và 1 cacbon bậc 4 lai hóa sp<sup>2</sup> ( $\delta_c$  145,0). Từ đó, kết hợp với phô khói cho biết công thức phân tử của hợp chất 2 là C<sub>30</sub>H<sub>50</sub>O. Trên phô <sup>1</sup>H-NMR của hợp chất 2 xuất hiện tín hiệu của 8 nhóm methyl singlet ở  $\delta_{H}$  0,71 (3H, s, CH<sub>3</sub>-24); 0,76 (3H, s, CH<sub>3</sub>-28); 0,80 (3H, s, CH<sub>3</sub>-29); 0,80 (3H, s, CH<sub>3</sub>-30); 0,87 (3H, s, CH<sub>3</sub>-25); 0,90 (3H, s, CH<sub>3</sub>-23); 0,91 (3H, s, CH<sub>3</sub>-26); 1,08 (3H, s, CH<sub>3</sub>-27), 1 proton của nhóm hydroxymetin ở  $\delta_H$  3,13 (1H, m, H-3) và 1 proton của liên kết đôi ở  $\delta_H$  5,19 (1H, t,  $J$  = 3,5 Hz, H-12). Phân tích các dữ liệu phô cho thấy hợp chất 2 là một triterpen có kiểu khung oleanan có một nỗi đôi ở C-12 và một nhóm OH liên kết với C-3. Các dữ kiện phô NMR của hợp chất 2 hoàn toàn trùng với hợp chất  $\beta$ -amyrin trong tài liệu tham khảo [8]. Từ đó có thể kết luận hợp chất 2 là olean-12-ene-3- $\beta$ -ol hay  $\beta$ -amyrin.

Hợp chất 3 được phân lập dưới dạng tinh thể hình kim màu trắng, điểm nóng chảy 275-276 °C. Phô <sup>13</sup>C NMR và DEPT cũng cho tín hiệu cộng hưởng của 30 nguyên tử cacbon tương ứng với 7 nhóm methyl, 12 nhóm metilen trong đó có một nhóm hydroxymetilen ( $\delta_c$  67,98, C-28), 4 nhóm metin và 7 cacbon bậc bốn trong đó có một cacbon thuộc nhóm carbonyl xeton ( $\delta_c$  213,08, C-3). Trên phô <sup>1</sup>H NMR cho tín hiệu cộng hưởng của một nhóm hydroxymetile ở  $\delta_H$  3,41 (1H, d,  $J$  = 10,5 Hz, H-28a), 3,35 (1H, d,  $J$  = 10,5 Hz, H-28b), 6 nhóm methyl dưới dạng singlet và 1 nhóm methyl dưới dạng doublet ở  $\delta_H$  0,87 (3H, d,  $J$  = 6,5 Hz, CH<sub>3</sub>-23). Các dữ kiện phô <sup>13</sup>C NMR và <sup>1</sup>H NMR cho phép xác định đây là một tritecpen có năm vòng cùng với một liên kết đôi thuộc nhóm xeton và một nhóm ancol bậc một. Sự có mặt của các nhóm chirus này cũng được khẳng định lại một lần nữa qua các dính hấp thụ đặc trưng cho nhóm ancol ( $\nu_{max}$  3541 cm<sup>-1</sup>) và nhóm carbonyl xeton ( $\nu_{max}$  1741 cm<sup>-1</sup>) trên phô hồng ngoại (IR). Từ các dữ kiện phô <sup>1</sup>H-NMR, <sup>13</sup>C-NMR, DEPT và so sánh trên bàn móng với chất canophyllol đã tách ra ở phòng thí nghiệm cho phép xác định cấu trúc của chất 3 là canophyllol. Chất này đã được

phân lập trước đây từ cây *Calophyllum inophyllum* của Việt Nam [9].

Hợp chất 4 được phân lập dưới dạng chất rắn màu trắng. Các dữ liệu phô của hợp chất này gần giống dữ liệu của hợp chất 3. Khác với chất 3, trên phô <sup>1</sup>H-NMR và <sup>13</sup>C-NMR thấy mất đi tín hiệu cộng hưởng của 1 nhóm methyl, thay vào đó là tín hiệu của 1 nhóm hydroxymetylen. Như vậy có thể kết luận rằng chất này là một triterpen thuộc khung friedelan như chất 3 trong đó nhóm methyl được thay thế bằng nhóm hydroxymetylen. So sánh dữ liệu phô <sup>1</sup>H-NMR, <sup>13</sup>C-NMR với tài liệu tham khảo [10] đã cho phép xác định cấu trúc của chất này là 28,29-dihydroxyfriedelan-3-one.

Hợp chất 5 được phân lập dưới dạng tinh thể màu trắng, nóng chảy ở nhiệt độ 264-265 °C. Phô hồng ngoại (IR) của hợp chất 5 có các dính hấp thụ đặc trưng cho nhóm carbonyl (C=O) ( $\nu_{max}$  1715 cm<sup>-1</sup>), dao động của nhóm CH ( $\nu_{max}$  2923, 2866 cm<sup>-1</sup>). Phô khói ESI-MS của hợp chất 5 xuất hiện pic ion phân tử proton hóa ở  $m/z$  427,5 [M+H]<sup>+</sup>. Phô <sup>13</sup>C-NMR và phô DEPT của hợp chất 5 cho tín hiệu cộng hưởng của 30 cacbon gồm 8 nhóm methyl, 11 nhóm metilen, 4 nhóm metin và 7 cacbon bậc 4 trong đó có một cacbon bậc 4 thuộc nhóm carbonyl xeton ở  $\delta_c$  213,2. Các dữ kiện phô trên cho phép xác định công thức phân tử của hợp chất này là C<sub>30</sub>H<sub>50</sub>O. Trên phô <sup>1</sup>H-NMR xuất hiện các tín hiệu của 8 nhóm methyl trong đó có 7 nhóm methyl singlet ở  $\delta$  0,72 (3H, s, CH<sub>3</sub>-24); 0,87 (3H, s, CH<sub>3</sub>-25); 0,95 (3H, s, CH<sub>3</sub>-29); 1,00 (3H, s, CH<sub>3</sub>-26); 1,01 (3H, s, CH<sub>3</sub>-30); 1,05 (3H, s, CH<sub>3</sub>-27); 1,18 ( $\beta$ H, s, CH<sub>3</sub>-28) và 1 nhóm methyl doublet ở  $\delta_{H}$  0,88 (3H, d,  $J$  = 6,5 Hz, CH<sub>3</sub>-23). Từ phô khói và phô NMR đã phân tích ở trên kết hợp với tham khảo tài liệu cho phép xác định hợp chất 5 là một tritecpen khung friedelan có tên là friedelin [11].

Hợp chất 6 được phân lập dưới dạng chất rắn màu trắng. Phô khói ESI-MS cho pic ion giả phân tử ở  $m/z$  221 [M+Na]<sup>+</sup>. Phô <sup>1</sup>H-NMR cho tín hiệu của 2 nhóm metoxy ở  $\delta_H$  3,94 (6H, s, 2 x OCH<sub>3</sub>), 1 nhóm andehit ở  $\delta_H$  9,75 (1H, s) và 2 proton vòng thơm ở 7,25 (2H, s, H-2, H-6). Phô <sup>13</sup>C-NMR của hợp chất 6 cho tín hiệu cộng hưởng của 9 nguyên tử cacbon trong đó có 2 nhóm metoxy, 1 nhóm carbonyl, 2 nhóm metin và 4 cacbon bậc 4. Các dữ liệu phô <sup>1</sup>H-NMR cho phép kết luận sơ bộ hợp chất 6 là 1 vòng benzen có 4 nhóm thê (1 nhóm CHO, 1 nhóm OH và 2 nhóm OCH<sub>3</sub>). So sánh với tài liệu tham khảo [12, 13], chúng tôi xác định được hợp chất 6 chính là syringaldehyde.

Hợp chất 7 được phân lập dưới dạng chất rắn màu trắng. Phô <sup>1</sup>H-NMR của 7 rất giống với chất 6 với tín hiệu của 2 nhóm metoxy ở  $\delta_H$  3,90 (6H, s, 2 x

$\text{OCH}_3$ ) và 2 proton vòng thơm ở 7,35 (2H, s, H-2, H-6), chi khác là không thấy tín hiệu của nhóm andehit. Dữ liệu phổ  $^1\text{H-NMR}$  cho dự đoán sơ bộ hợp chất 7 là 1 vòng benzen có 4 nhóm thê (1 nhóm COOH, 1 nhóm OH và 2 nhóm  $\text{OCH}_3$ ). So sánh với tài liệu tham khảo [13], chúng tôi xác định được hợp chất 7 chính là axit syringic.

Hợp chất 8 được phân lập dưới dạng chất rắn màu trắng. Phổ  $^1\text{H-NMR}$  của 8 cho tín hiệu của 1 hệ ABX ở  $\delta_{\text{H}}$  6,81 (1H, d,  $J = 8,0$  Hz, H-5); 7,44 (1H, br d,  $J = 8,0$  Hz, H-6); 7,46 (1H, br s, H-2). Dữ liệu phổ  $^1\text{H-NMR}$  cho phép kết luận sơ bộ hợp chất 8 là 1 vòng benzen thê 1,2,4 (1 nhóm COOH, 2 nhóm OH). So sánh với tài liệu tham khảo [14], chúng tôi xác định được hợp chất 8 chính là axit 3,4-dihydroxybenzoic.

#### 4. KẾT LUẬN

Từ thân cây Dây llop bóp (*G. stylosa*) thu hái tại Việt Nam, chúng tôi đã thu được 8 hợp chất là abruslactone A (1),  $\beta$ -amyrin (2), canophyllol (3), 28,29-dihydroxyfriedelan-3-one (4), friedelin (5), syringaldehyde (6), axit syringic (7) và axit 3,4-dihydroxybenzoic (8). Đây là lần đầu tiên, loài thực vật này được nghiên cứu về thành phần hóa học ở Việt Nam cũng như trên thế giới.

**Lời cảm ơn:** Các tác giả xin cảm ơn ThS. Đào Đình Cường và ThS. Nguyễn Quốc Bình đã thu hái và xác định mẫu thực vật. Công trình được thực hiện trong khuôn khổ Dự án Pháp-Việt.

#### TÀI LIỆU THAM KHẢO

- McKenna, Miles J., Simmons, Mark P., Bacon, Christine D., Lombardi, Julio A. *Delimitation of the Segregate Genera of *Maytenus* s. l. (Celastraceae) Based on Morphological and Molecular Characters*. Systematic Botany, 36(4), 922-932 (2011).
- Savita Sagwan, D. V. Rao, R. A. Sharma. *Maytenus emarginata* (Wild) a promising drug for cancer therapy, Asian Journal of Pharmaceutical and Clinical Research, 4(3), 9-12 (2011).
- Hussein G, Miyashiro H, Nakamura N, et al. Inhibitory effects of Sudanese plant extracts on HIV-1 replication and HIV-1 protease, Phytother Res, 13, 31-6 (1999).
- M. Tin-Wa, N. R. Farnsworth, H. H. S. Fong, R. N. Blomster, D. J. Abramson, G. J. Persinos, O. B. Dokosi. Ethnoic extract of *M. senegalensis* demonstrated cytotoxic effects against carcinoma in cell cultures and Leukemia in mice, J. Nat., Prod., 34, 79-87 (1971).
- Phạm Hoàng Hô. *Cây có Việt Nam*, Nxb. Trẻ, 2, 151 (2000).
- Hson-Mou Chang, Teh-Chang Chiang, and Thomas C. W. Mak. Isolation and Structure Elucidation of Abruslactone A: a New Oleanene-type Triterpene from the Roots and Vines of *Abrus precatorius* L., J. Chem. Soc., Chem. Commun., 1197-1198 (1982).
- Guo Zheng-hong, Xi Rong-gang, Wang Xiao-bo, Wu Li-jun, Gao Hui-yuan. A new triucallane derivative from *Salacia hainanensis* Chun et How, Acta Pharm Sin, 44, 1123-1126 (2009).
- J. Bhattacharyya, Cymone B. Barros. Triterpenoids of *Cnidosculus urens*, Phytochemistry, 25, 274-76 (1985).
- Shashi B. Mahato and Asish P. Kundu. Review article number 98  $^{13}\text{C-NMR}$  spectra of pentacyclic triterpenoids a compilation and some salient features, Phytochemistry, 37(6), 1517-1575 (1994).
- Nozaki H, Matsuura Y, Hirono S, Kasai R, Chang JJ, Lee KH. Antitumor agents, 116. Cytotoxic triterpenes from *Maytenus diversifolia*, J. Nat. Prod., 53, 1039-41 (1990).
- Grasiely F. Sousa, Lucenir P. Duarte et al. New Triterpenes from *Maytenus robusta*: Structural Elucidation Based on NMR Experimental Data and Theoretical Calculations, Molecules, 17(11), 13439-13456 (2012).
- Ren Yan, Zhang De-Wu, Dai Sheng-Jun. Chemical Constituents from *Solanum lyratum* Chin, J. Nat. Med., 7(3), 203-205 (2009).
- Zhihui Liu, Songbo Li, Na Han, Dongxue Sun, Yunfeng Cao, Jun Yin. Studies on the chemical constituents of the vines of *Streptocaulon juventas* (Lour.) Merr, Asian Journal of Traditional Medicines, 3(5), 193-198 (2008).
- Nova Syafni, Deddi Prima Putra, Dayar Arbain. 3,4-dihydroxybenzoic acid and 3,4-dihydroxybenzaldehyde from the fern *Trichomanes chinense* L; Isolation, antimicrobial and antioxidant properties, Indo. J. Chem., 12(3), 273-278 (2012).

#### Liên hệ: Phạm Văn Cường

Viện Hòa sinh biển

Viện Hàn lâm Khoa học và Công nghệ Việt Nam

18 Hoàng Quốc Việt, Cầu Giấy, Hà Nội

Email: phamvc@yahoo.com.